

ANEXO II

Informações referenciais para elaboração do PEI para o Complexo Termelétrico de Candiota

1 INTRODUÇÃO

Este Anexo II contém um conjunto de informações requeridas para a elaboração do Plano de Emergência Individual (PEI) para o Complexo Termelétrico de Candiota. As instalações são usadas para geração de energia elétrica a partir da queima de carvão mineral. O relatório foi elaborado pela Det Norske Veritas para a CGTEE com a finalidade de ser utilizado como documento complementar ao PEI, conforme estabelecido na Resolução 398/2008 do Conselho Nacional do Meio Ambiente – CONAMA.

Conforme será visto, no caso do Complexo Termelétrico de Candiota, onde os principais tipos de acidentes são explosões e incêndios em poça, do ponto de planejamento de emergência, é importante destacar que as ações de combate e controle somente são aplicáveis para o segundo tipo de acidente (incêndio em poça), pois para explosões, não há tempo para reação. Assim, no caso de acidentes deste último tipo, cabem ações preventivas para evitar que os mesmos ocorram.

2 IDENTIFICAÇÃO E AVALIAÇÃO DOS RISCOS

Neste capítulo, serão apresentadas as fontes de risco existentes e as possíveis consequências associadas às operações do Complexo Termelétrico de Candiota.

Para subsidiar a confecção deste PEI foi feita pela Det Norske Veritas um Estudo de Análise de Riscos (EAR) para Complexo Termelétrico de Candiota. Os principais resultados do estudo foram:

- 1) Os riscos individuais para a população que vive nas imediações não foi avaliado por não haver cenários de acidentes com capacidade de causar fatalidades fora do perímetro do Complexo Termelétrico de Candiota.
- 2) O risco social medido na forma de curva F-N também não precisou ser avaliado por não haver cenários de acidentes com capacidade de causar fatalidades fora do perímetro do Complexo Termelétrico de Candiota.
- 3) Para eventos do tipo explosão ou BLEVE, o maior alcance para o valor de 0,1 bar de pico de sobrepressão na onda de choque (1 % de probabilidade de fatalidade, de acordo com a CETESB) foi de 209 m, sem sair do interior do perímetro da Usina.
- 4) Nas condições de dispersão médias as poças de óleo combustível e óleo diesel não devem gerar nuvens capazes de atingir pontos distantes ou explodir.
- 5) Para vazamentos os efeitos ficariam basicamente restritos a incêndios em poça. Ou seja, os possíveis danos analisados tenderiam a ficar restritos às imediações do local do vazamento para derrame de líquido combustível no solo.

2.1 IDENTIFICAÇÃO DOS RISCOS POR FONTE

No caso do Complexo Termelétrico de Candiota as principais fontes de riscos estão associadas às operações das fornalhas/caldeiras das três fases, pois são as explosões tanto em fornalha como de caldeiras que apresentam o maior potencial de danos.

Considerando-se que além de carvão, há um uso razoável de óleo combustível e de óleo diesel, os sistemas de armazenagem e de transferência destes produtos também devem ser considerados como fontes de riscos.

Ocorre também o uso de gases inflamáveis no Complexo, o GLP e o hidrogênio, com quantidades armazenadas ou manipuladas modestas (da ordem de quilogramas), mas que também devem ser consideradas como fontes de risco.

O tratamento da água requer o uso de substâncias corrosivas, o ácido sulfúrico e a soda cáustica, ambas com potencial de causar danos a pessoas e ao meio ambiente, devendo ser consideradas fontes de risco.

O carvão que é o principal combustível usado no complexo, apesar de inflamável, representa uma fonte de risco com potencial de dano específico e limitado (incêndio na pilha de carvão, no pátio de armazenagem), pois testes realizados com amostra do carvão de Candiota pela Explosion Hazard Testing – EHT, da Inglaterra, mostraram que não se trata de um material cujo pó possa queimar explosivamente na temperatura ambiente. Ou seja, dada esta característica, elimina-se um número grande de possíveis acidentes no Complexo.

As principais características do Complexo Termelétrico de Candiota estão apresentadas no EAR mencionado na introdução deste documento e serão complementadas a seguir.

Dados do Complexo Termelétrico de Candiota

As principais características das fornalhas das Fases A, B e C estão listadas na Tabela 2.1 e das duas caldeiras (idênticas) da Fase A e das duas (idênticas) da Fase C na Tabela 2.2, pois são todas potenciais fontes de risco.

Tabela 2.1 – Características das fornalhas das Fases A, B e C

| Fase | Combustível | Volume (m³) |
|-------------|--|-------------------------------|
| A | Carvão, óleo combustível, óleo diesel | 2187 |
| B | Carvão, óleo combustível, óleo diesel, GLP | 6302 |
| C | Carvão, óleo combustível | 7840 |

Tabela 2.2 – Características das caldeiras das Fases A, B e C

| Fase | Produção de vapor (t/h) | Temperatura do vapor superaquecido (°C) | Pressão do vapor superaquecido (kgf/cm ²) | Volume do balão (m ³) |
|------|-------------------------|---|---|-----------------------------------|
| A | 200 | 530 | 115 | 23 |
| B | 1150 | 538 | 175,2 | Não tem balão |
| C | 90,4 | 543 | 187,4 | 150 |

Na Tabela 2.3, encontram-se listadas as possíveis fontes de riscos do tipo tanque de armazenagem identificadas no Complexo Termelétrico de Candiota.

Tabela 2.3 – Caracterização das fontes de risco do tipo tanque (atmosféricos) do Complexo Termelétrico de Candiota

| Fase do tanque | Volume (m ³) | Tipo de teto | Tipo de fundo | Produto armazenado | Tipo de bacia de contenção |
|----------------|--------------------------|-----------------------|------------------------------|--|--|
| A, B e C | 5000 | Fixo com solda frágil | Chapa sobre base de concreto | Óleo combustível, T = 81 °C | Dique fechado e piso revestido de cimento com capacidade suficiente para contenção do volume do tanque |
| B | 500 | Fixo com solda frágil | Chapa sobre base de concreto | Óleo combustível, T = 81 °C | Dique fechado e piso revestido de cimento com capacidade suficiente para contenção do volume do tanque |
| A | 125 | Fixo com solda frágil | Chapa sobre base de concreto | Óleo combustível, T = 81 °C | Dique fechado e piso revestido de cimento com capacidade suficiente para contenção do volume do tanque |
| A | 125 | Fixo com solda frágil | Chapa sobre base de concreto | Óleo combustível, T = 81 °C | Dique fechado e piso revestido de cimento com capacidade suficiente para contenção do volume do tanque |
| C | 300 | Fixo com solda frágil | Chapa sobre base de concreto | Óleo combustível, T = 81 °C | Dique fechado e piso revestido de cimento com capacidade suficiente para contenção do volume do tanque |
| B | 200 | Fixo com solda frágil | Chapa sobre base de concreto | Óleo diesel na temperatura ambiente | Dique fechado e piso revestido de cimento com capacidade suficiente para contenção do volume do tanque |
| A | 55 | Fixo com solda frágil | Chapa sobre base de concreto | Óleo diesel na temperatura ambiente | Dique fechado e piso revestido de cimento com capacidade suficiente para contenção do volume do tanque |
| A | 10 | Fixo | Chapa sobre base de concreto | Ácido sulfúrico a 98 % | Dique fechado e piso revestido de cimento com capacidade suficiente para contenção do volume do tanque |
| B | 6 e 8 | Tanque horizontal | NA | Ácido sulfúrico a 98 %, na temperatura ambiente | Dique fechado e piso revestido de cimento com capacidade suficiente para contenção do volume do tanque |
| C | 2x10 | Tanque horizontal | NA | Ácido sulfúrico a 98 %, na temperatura ambiente | Dique fechado e piso revestido de cimento com capacidade suficiente para contenção do volume do tanque |
| B | 6 | Tanque horizontal | NA | Solução de soda cáustica na temperatura ambiente | Dique fechado e piso revestido de cimento com capacidade suficiente para contenção do volume do tanque |
| C | 2x10 | Tanque horizontal | NA | Solução de soda cáustica na temperatura ambiente | Dique fechado e piso revestido de cimento com capacidade suficiente para contenção do volume do tanque |

2.2 HIPÓTESES ACIDENTAIS

Os eventos acidentais que poderiam ocorrer teriam como origem a liberação descontrolada de:

A) Energia-

(i) Explosão confinada de mistura vapor ou gás inflamável e ar (interior de fornalha ou de tanque ou de prédio);

(ii) Explosão de nuvem não confinada (hidrogênio e ar);

(iii) Explosão por expansão de vapor fervente (BLEVE de caldeira);

B) Produto inflamável com geração de fluxos térmicos-

(i) Incêndio em poça de óleo combustível ou diesel devido a vazamento ou ruptura em qualquer um dos sistemas de manipulação ou armazenagem ou nas tubulações associadas;

(ii) Incêndio na pilha de pó de carvão no pátio.

C) Produtos perigosos com potencial de causar danos ambientais (vazamento de produto químico não combustível tal como ácido sulfúrico ou solução de soda cáustica ou de óleo combustível/diesel, sem ignição).

A perda de produto perigoso poderia ser causada por:

a) Erro operacional (humano) durante descarga ou transferência de produtos perigosos.

b) Falha mecânica envolvendo tanque, tubulação ou componente associado.

c) Corrosão.

d) Evento natural (deslocamento de solo, tremor de terra, enchente, ciclone, etc.)

A perda de controle pode levar aos seguintes cenários de acidentes:

1) **Incêndio em poça:** Vazamento, formação de poça e ignição com danos a pessoas e estruturas diretamente expostas às chamas ou devido à radiação térmica emitida pelos gases aquecidos.

2) **Contaminação:** Para o caso de produto inflamável/combustível, não ocorrendo ignição, poderia haver danos por contaminação do solo. Para produtos corrosivos não inflamáveis, o efeito maior seria a contaminação do solo ou geração de resíduos com necessidade de neutralização, recolhimento e destinação

3) **Incêndio em nuvem:** Em princípio, seria esperado ocorrer incêndio em nuvem com possibilidade de danos a pessoas dentro da zona da nuvem com concentrações acima do limite

inferior de inflamabilidade, seguido por incêndio em poça. Mas, os resultados de avaliação de alcances de nuvens de mistura vapor de vapor inflamável-ar para as condições médias de velocidade de vento e classe de estabilidade atmosférica com o programa Phast mostraram que a queima se restringiria às imediações da poça; explosões de nuvem de mistura vapor-ar também não são esperadas.

Os principais efeitos seriam restritos aos danos causados por exposição à radiação térmica emitida pelas chamas de incêndio em poça.

- 4) **Explosão confinada:** Além de vazamentos, foram ainda considerados os cenários de explosão confinada em fornalhas e em tanque de armazenagem de óleo combustível/diesel e no interior do prédio de produção de hidrogênio, na sala de baterias e no prédio do gerador de energia elétrica.
- 5) **Explosão em ambiente congestionado:** Também foi considerada a hipótese de haver explosão de mistura de hidrogênio com ar, na parte externa do prédio de produção do gás. O hidrogênio é extremamente inflamável e a área onde estão três vasos de armazenagem, do lado de fora do prédio de produção de hidrogênio, pode ser considerada congestionada pela presença de prédios e estruturas, o que torna possível a aceleração da queima da mistura de H₂-ar e geração de turbulência (mecanismo de Schelkchkin).

As avaliações das áreas que seriam vulneráveis a incêndio em poça de óleo combustível/diesel foram realizadas com o uso do programa Phast. As características da poça que seria formada dependem do local onde ocorresse a perda de contenção, assim, nos diques de contenção, a poça considerada foi aquela definida pela área do próprio dique; para vazamentos nas áreas de processo, admitiu-se que as poças poderiam atingir até 30 m de diâmetro (valor máximo sugerido na DNV-N13: DNV Technical Note 13, que corresponde a uma área de 707 m²).

A avaliação das áreas vulneráveis a explosões (confinada ou não e BLEVE) também foram realizadas com o programa Phast.

Explosão de nuvem de mistura de vapor de líquido inflamável-ar, sem confinamento, não seria observada conforme as estimativas feitas com o programa Phast da DNV. A massa disponível entre os limites de inflamabilidade seria insuficiente para a ocorrência de explosão de nuvem. Em caso de liberação acidental de óleo combustível/diesel é importante manter um controle o mais rígido possível sobre fontes de ignição.

Na Tabela 2.4, estão listados os principais cenários de acidentes identificados para os quais serão apresentados resultados de análises de vulnerabilidade. A denominação que foi usada nos estudos anteriores foi mantida, assim, eventos que teriam ligação com qualquer uma das Fases A, B

e C da Usina são denominados com as letras ABC, aqueles que dizem respeito a somente uma determinada fase, têm acrescentado ao número da hipótese ou cenário a letra da fase correspondente.

Além dos cenários selecionados com base na categoria de severidade nas Análises Preliminares de Perigos realizadas como parte dos Estudos de Análise de Riscos das Fases A e B e posteriormente da Fase C, trabalhos que estavam voltados para a estimativa de riscos para a população externa ao Complexo Termelétrico de Candiota, foram adicionados os cenários de vazamento de produtos corrosivos ácido sulfúrico e soda cáustica e incêndio na pilha de carvão no pátio de armazenagem.

Tabela 2.4 – Cenários de acidente selecionados para análise de vulnerabilidade das Fases A, B e C

| Cenário | Causa | Descrição do cenário | Fases |
|---------|---|---|---------|
| 2ABC | Rompimento catastrófico do reator de hidrogênio por impacto mecânico ou falha estrutural. | Explosão confinada de mistura de hidrogênio com ar, no prédio de produção de hidrogênio | A, B, C |
| 5ABC | Rompimento catastrófico do cilindro de hidrogênio por impacto mecânico ou falha estrutural. | Explosão não confinada de mistura de hidrogênio com ar, em área congestionada próximo do prédio de produção de hidrogênio | A, B, C |
| 7A | Vazamento nas linhas entre o tanque (55 m ³) de óleo diesel da Fase A e a fornalha por impacto mecânico ou falha estrutural. | Incêndio em poça de óleo diesel junto à fornalha da Fase A | A |
| 8A | Rompimento catastrófico do tanque (55 m ³) de óleo diesel da Fase A por impacto mecânico ou falha estrutural. | Incêndio em poça de óleo diesel no dique do tanque de 55 m ³ da Fase A | A |
| 11B | Rompimento catastrófico do tanque (200 m ³) de óleo diesel da Fase B por impacto mecânico ou falha estrutural. | Incêndio em poça de óleo diesel no dique do tanque de 200 m ³ da Fase B | B |
| 13ABC | Vazamento de óleo combustível nas linhas entre o tanque de armazenagem (5.000 m ³) e os tanque auxiliares por impacto mecânico ou falha estrutural. | Incêndio em poça de óleo combustível | A, B, C |
| 14ABC | Rompimento catastrófico do tanque de armazenagem de óleo combustível (5.000 m ³) por impacto mecânico ou falha estrutural. | Incêndio em poça de óleo combustível no dique do tanque de 5000 m ³ | A, B, C |

| | | | |
|------|--|---|---|
| 16A | Vazamento nas linhas do tanque (125 m ³) de óleo combustível da Fase A por impacto mecânico ou falha estrutural. | Incêndio em poça de óleo combustível | A |
| 17A | Rompimento catastrófico do tanque (125 m ³) de óleo combustível da Fase A por impacto mecânico ou falha estrutural. | Incêndio em poça de óleo combustível no dique do tanque de 125 m ³ da Fase A | A |
| 19B | Vazamento nas linhas entre o tanque (500 m ³) de óleo combustível da Fase B e a fornalha por impacto mecânico ou falha estrutural. | Semelhante ao cenário 3, com relação aos efeitos. | B |
| 20B | Rompimento catastrófico do tanque (500 m ³) de óleo combustível da Fase B por impacto mecânico ou falha estrutural. | Incêndio em poça de óleo combustível no dique do tanque de 500 m ³ da Fase B | B |
| 29A | Ignição retardada de diesel na câmara de combustão da caldeira 1 ou 2 da Fase A por falha no sistema de instrumentação da caldeira. | Explosão confinada de mistura de vapor de óleo diesel e ar, na fornalha da Fase A | A |
| 29aA | Explosão do balão da caldeira da Fase A. | BLEVE- Boiling Liquid Expanding Vapor Explosion, Explosão por Expansão de Vapor de Líquido Fervente da Fase A | A |
| 30B | Ignição retardada de GLP na câmara de combustão da caldeira 3 ou 4 da fase B por falha no sistema de instrumentação da caldeira. | Explosão confinada de mistura de GLP e ar, na fornalha da Fase B | B |
| 31B | Ignição retardada de Fuel Oil na câmara de combustão da caldeira 3 ou 4 da fase B por falha no sistema de instrumentação da caldeira. | Explosão confinada de mistura de vapor de óleo combustível e ar, na fornalha da Fase B | B |
| 18C | Acúmulo de mistura inflamável (vapores de combustível) na fornalha na partida da caldeira (partida com óleo combustível 1A), levando à explosão confinada na fornalha. | Explosão confinada de mistura de vapor de óleo combustível e ar, na fornalha da Fase C | C |
| 22C | Sobreprensão de vapor devido à falha no controle de pressão da caldeira ou falha humana na partida, levando à explosão da caldeira. | BLEVE da caldeira da Fase C | C |

| | | | |
|-------|--|---|----------|
| 64C | Liberação de hidrogênio em espaço confinado por vazamento dentro do prédio de baterias levando à explosão. | Explosão confinada de mistura de hidrogênio com ar, no prédio de baterias | A, B e C |
| 65ABC | Grande liberação de ácido sulfúrico por vazamento em tanque ou tubulações. | Danos ambientais e geração de resíduos | A, B e C |
| 66ABC | Grande liberação de soda cáustica por vazamento em tanque ou tubulações. | Danos ambientais e geração de resíduos | A, B e C |
| 67ABC | Auto-ignição na pilha de carvão no pátio de armazenagem. | Incêndio em pilha de carvão* | A, B e C |

* A queima do carvão em forma de pilha ocorre sem formação de chama (não há liberação de gases em quantidade suficiente da superfície sólida dos grãos de carvão para gerar chama), do tipo “smoldering” em Inglês.

2.3 ESTIMATIVAS DE QUANTIDADES VAZADAS

Nesta seção, serão feitas estimativas das quantidades máximas que poderiam vazarem acidentalmente em cenários de acidentes envolvendo os tanques e tubulações de interligação e demais instalações.

Para ruptura ou vazamento de tanque, a quantidade vazada seria o próprio volume correspondente à capacidade de armazenagem do tanque, com formação de poça no próprio dique do tanque.

Para vazamento em tubulações, considerou-se que a quantidade de material que seria liberada acidentalmente não excederia 20 % (vinte por cento) da capacidade armazenada (capacidade do tanque), que é o critério usado no Manual de Análise de Riscos da FEPAM-RS. Assim, os volumes correspondentes às quantidades máximas esperadas para vazamentos em tubulações são facilmente determinados tomando-se 20 % dos volumes dos tanques listados na Tabela 2.3.

Volume do pior caso

Claramente, o volume correspondente ao pior caso seria para um vazamento do tanque de 5000 m³ de óleo combustível tipo 1A que serve às três fases, mas este seria no próprio dique do tanque.

3 ANÁLISE DE VULNERABILIDADE

A análise de vulnerabilidade para as hipóteses acidentais associadas às operações do Complexo Termelétrico de Candiota será apresentada a seguir.

Na Tabela 3.1, tem-se os valores estimados de distâncias medidas a partir do centro da poça, onde seriam observados os níveis de fluxo térmico listados a seguir com os respectivos níveis de danos associados, bem como o alcance até o limite inferior de inflamabilidade (LII).

- 71,2 kW/m² – nível de fluxo de radiação térmica capaz de causar grandes danos a pessoas (99 % de probabilidade de morte para uma exposição de 20 s);
- 37,5 kW/m² – nível de fluxo de radiação térmica suficiente para causar danos às pessoas incapazes de evacuar a área ou procurar abrigo. Causa danos, 50% de probabilidade de morte em 20 s de exposição;
- 12,5 kW/m² – nível de fluxo de radiação térmica suficiente para causar danos às pessoas incapazes de evacuar a área ou procurar abrigo. Causa danos, 1% de probabilidade de morte em 30 s de exposição;.
- 3,0 kW/m² – nível de fluxo de radiação térmica considerada seguro para tempos de exposição de até 20 s.

Tabela 3.1 – Estimativas de alcances para fluxos térmicos e LII para incêndio em poça

| Cenário de acidente | Distância ao centro da poça (m) | | | | |
|---------------------|---------------------------------|------------------------|------------------------|------------------------|-----|
| | 3,0 kW/m ² | 12,5 kW/m ² | 37,5 kW/m ² | 71,2 kW/m ² | LII |
| 7A/10A/16A/12C | 41 | 22 | 8 | Não atinge | 2 |
| 8A | 39 | 20 | 7 | Não atinge | 10 |
| 11B | 56 | 21 | Não atinge | Não atinge | 16 |
| 13ABC | 44 | 22 | 9 | Não atinge | 3 |
| 14ABC | 110 | 39 | Não atinge | Não atinge | 51 |
| 17A | 50 | 21 | 10 | Não atinge | 1 |
| 20B | 7 | 22 | Não atinge | Não atinge | 46 |

Nas Figuras 3.1 a 3.8, estão mostradas as áreas vulneráveis a fluxo térmico gerado por incêndio em poça correspondentes aos cenários de acidente listados na Tabela 3.1.

Cabe observar que para o cenário 1ABC (queima de carvão na pilha no pátio de armazenagem), como não se tem um incêndio em poça, não se tem estimativas para alcances até os

fluxos térmicos de interesse.

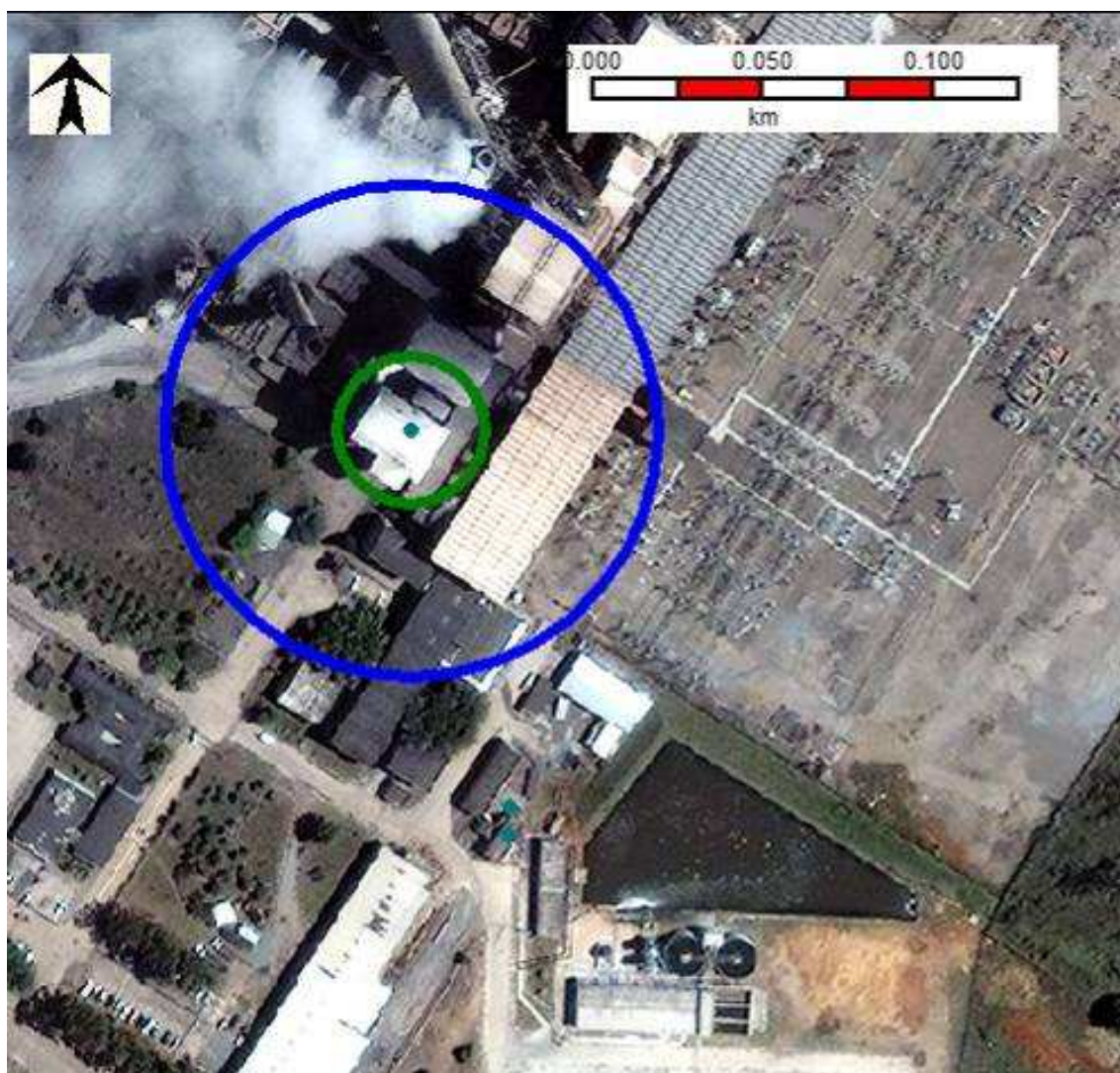


Figura 3.1- Incêndio em poça de diesel, vazamento em linhas do tanque de 55 m³ da Fase A, Hipótese 7A, alcances para fluxos térmicos de 3 kW/m² (azul) e 12,5 kW/m² (verde)



Figura 3.2- Incêndio em poça de diesel, no dique do tanque de 55 m³ da Fase A, Hipótese 8A, alcances para fluxos térmicos de 3 kW/m² (azul), 12,5 kW/m² (verde) e 37,5 kW/m² (amarelo)



Figura 3.3- Incêndio em poça de diesel, no dique do tanque de 200 m³ da Fase B, Hipótese 11 B, alcances para fluxos térmicos de 3 kW/m² (azul) e 12,5 kW/m² (verde)



Figura 3.4- Incêndio em poça de combustível, vazamento em linhas do tanque de 5000 m³, Hipótese 13 ABC, alcances para fluxos térmicos de 3 kW/m² azul) e 12,5 kW/m² (verde)



Figura 3.5- Incêndio em poça de combustível 1A, no dique do tanque de 5000 m³, Hipótese 14 ABC, alcances para fluxos térmicos de 3 kW/m² (azul) e 12,5 kW/m² (verde)



Figura 3.3 - Incêndio em poça de combustível, no dique do tanque de 125 m³ da Fase A, Hipótese 17A, alcances para fluxos térmicos de 3 kW/m² (azul), 12,5 kW/m² (verde) e 37,5 kW/m² (amarelo)



Figura 3.7- Incêndio em poça de óleo combustível, no dique do tanque de 500 m³ da Fase B, Hipótese 20B, alcance para fluxos térmicos de 3 kW/m² (azul) e 12,5 kW/m² (verde)



Figura 3.8- Incêndio em poça de óleo combustível, na área da fornalha da Fase C, Cenário 12C, alcances para fluxos térmicos de 3 kW/m² (azul) e 12,5 kW/m² (verde)

Na Tabela 3.2, tem-se os valores estimados de distâncias medidas a partir do centro da poça, onde seriam observados os níveis de picos de sobrepressão na onda de choque listados a seguir com os respectivos níveis de danos associados.

- a) 0,43 bar – pico de sobrepressão na onda de choque capaz de causar grandes danos a pessoas (99 % de probabilidade de morte);
- b) 0,1 bar – pico de sobrepressão na onda de choque capaz de causar danos a pessoas (50 % de probabilidade de morte);
- c) 0,1 bar – pico de sobrepressão na onda de choque capaz de causar danos a pessoas (1 % de probabilidade de morte);
- d) 0,05 bar – pico de sobrepressão na onda de choque considerado seguro.

Tabela 3.2 – Estimativas de alcances para picos de sobrepressão em explosões

| Cenário de acidente | Distância ao centro da explosão (m) | | | |
|---------------------|-------------------------------------|---------|------------|------------|
| | 0,05 bar | 0,1 bar | 0,3 bar | 0,43 bar |
| 2ABC | 130 | 81 | 41 | 33 |
| 5ABC | 57 | 28 | Não atinge | Não atinge |
| 14ABCa | 336 | 209 | 104 | 84 |
| 29A | 203 | 114 | 54 | 44 |
| 29Aa | 203 | 73 | 37 | 30 |
| 30B | 282 | 126 | 63 | 51 |
| 31B | 288 | 162 | 77 | 63 |
| 18C | 310 | 193 | 96 | 78 |
| 22C | 243 | 163 | 83 | 67 |
| 64C | 102 | 63 | 32 | 26 |

Nas Figuras 3.9 a 3.20, estão mostradas as zonas sujeitas aos possíveis efeitos de explosões dos cenários listados na Tabela 3.2.

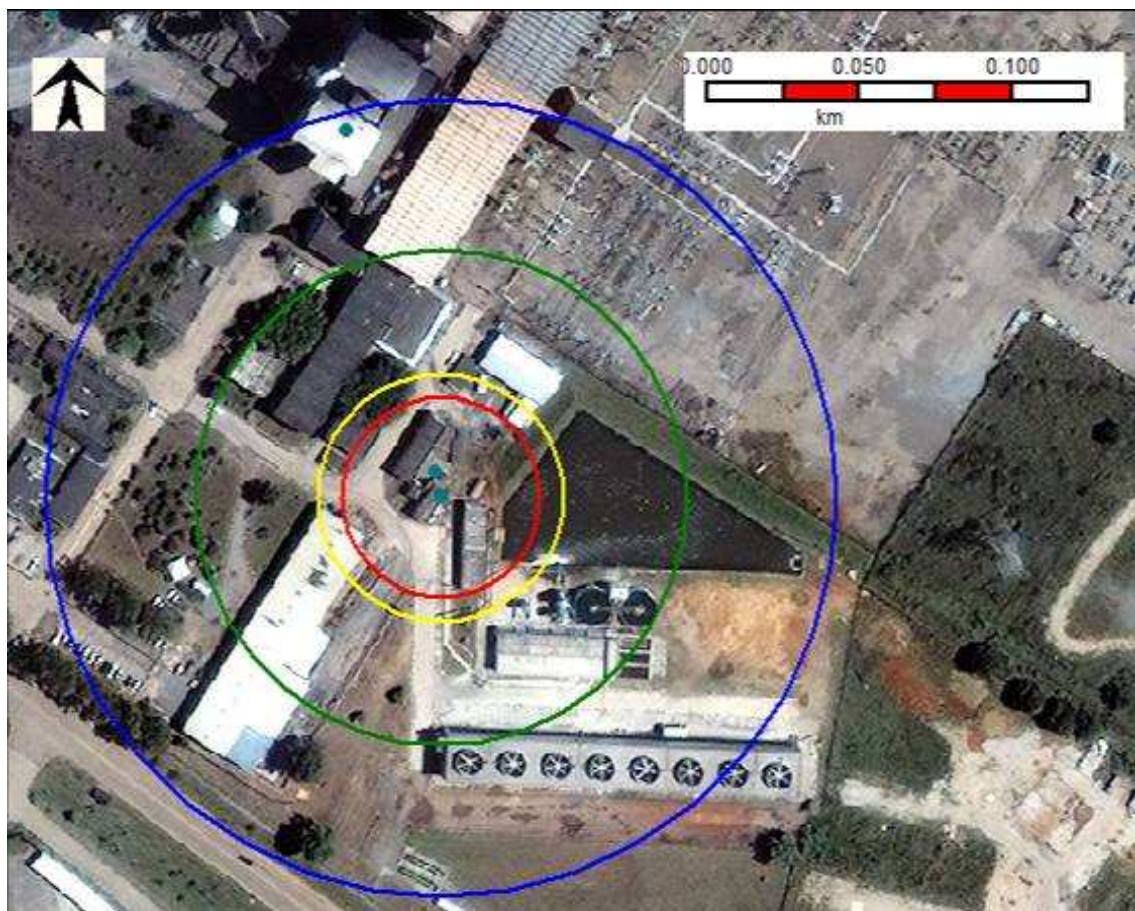


Figura 3.9 - Explosão de confinada de hidrogênio e ar, no interior do prédio do reator, Hipótese 2ABC, alcances para sobrepressões de 0,43 bar (vermelho), 0,3 bar (amarelo), 0,1 bar (verde) e 0,05 bar (azul)



Figura 3.10- Explosão de nuvem de hidrogênio e ar, ruptura de cilindro, Hipótese 5ABC, alcances para sobrepressões de 0,1 bar (verde) e 0,05 bar (azul)

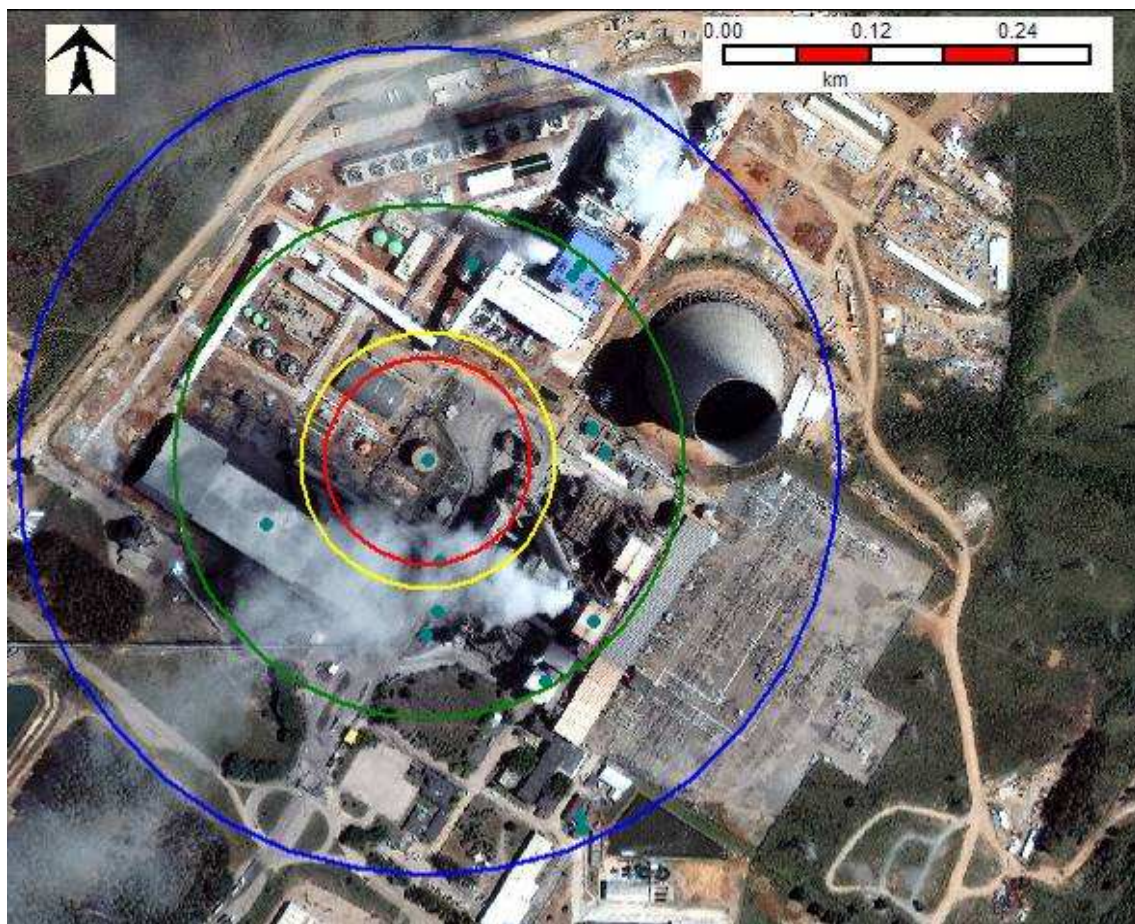


Figura 3.11- Explosão de vapor de óleo combustível e ar, no interior do tanque de 5000 m³, Hipótese 15ABC, alcances para sobrepressões de 0,43 bar (vermelho), 0,3 bar (amarelo), 0,1 bar (verde) e 0,05 bar (azul)

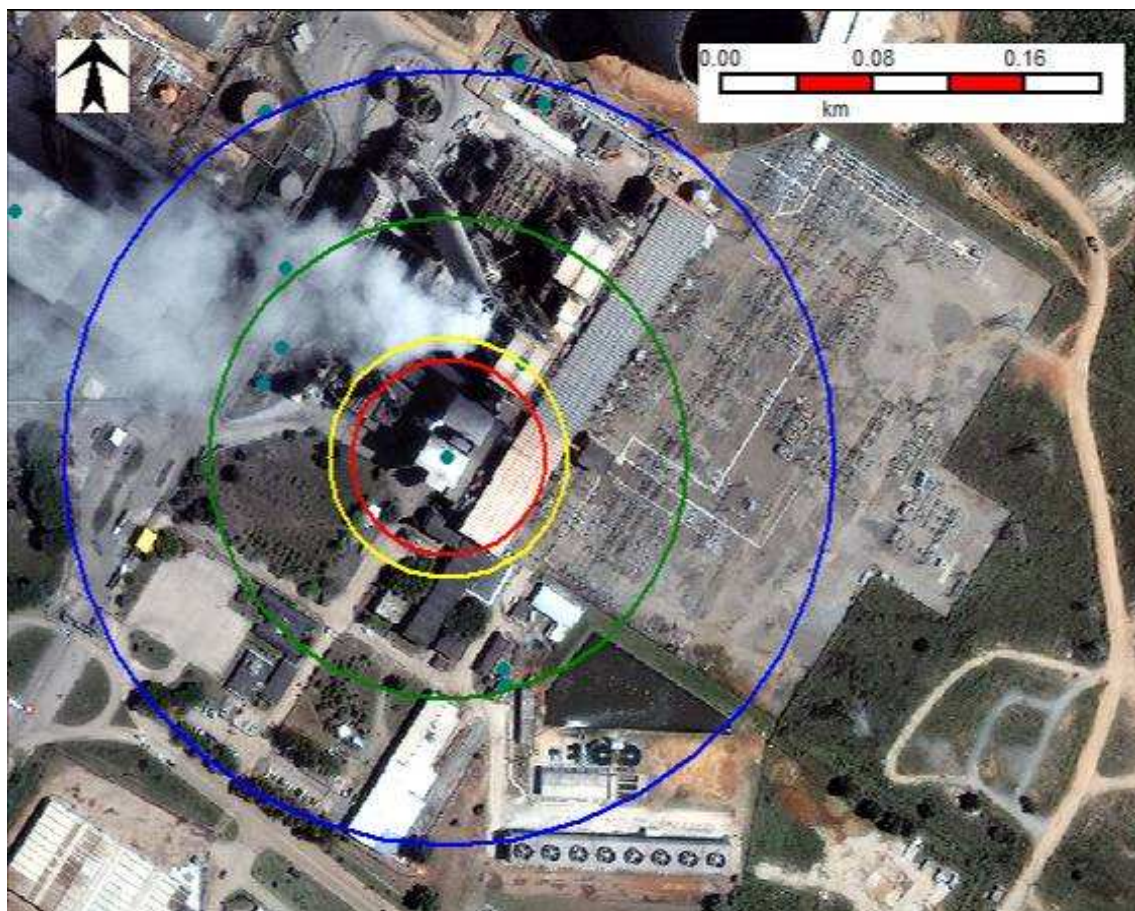


Figura 3.12- Explosão de mistura de vapor de óleo diesel e ar, na fornalha da Fase A, Hipótese 29A, alcances para sobrepressões de 0,43 bar (vermelho), 0,3 bar (amarelo), 0,1 bar (verde) e 0,05 bar (azul)



Figura 3.13- Explosão por expansão de vapor de água (BLEVE) da caldeira da Fase A, Hipótese 29Aa, alcances para sobrepressões de 0,43 bar (vermelho), 0,3 bar (amarelo), 0,1 bar (verde) e 0,05 bar (azul)

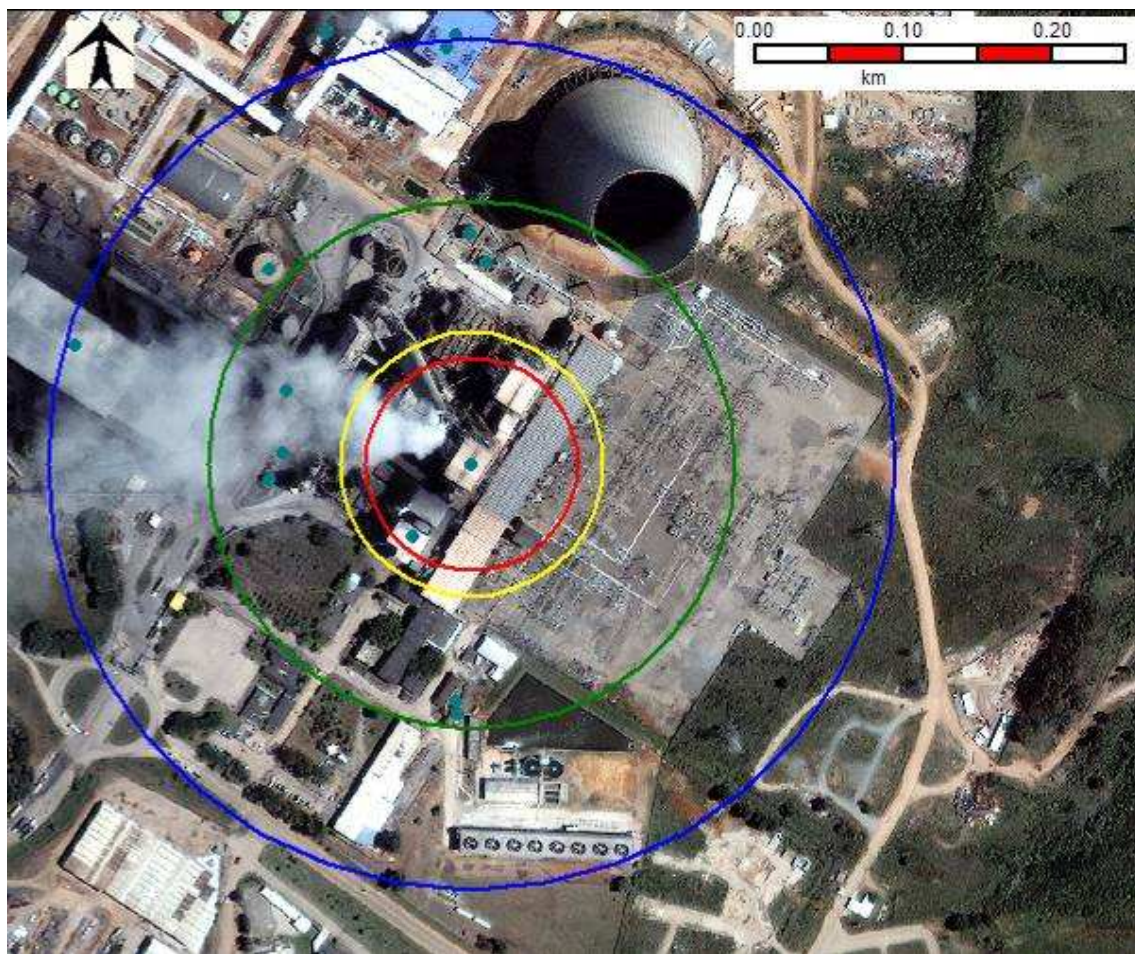


Figura 3.14 - Explosão de mistura de GLP e ar, no interior da fornalha da Fase B, Hipótese 30B, alcances para sobrepressões de 0,43 bar (vermelho), 0,3 bar (amarelo), 0,1 bar (verde) e 0,05 bar (azul)

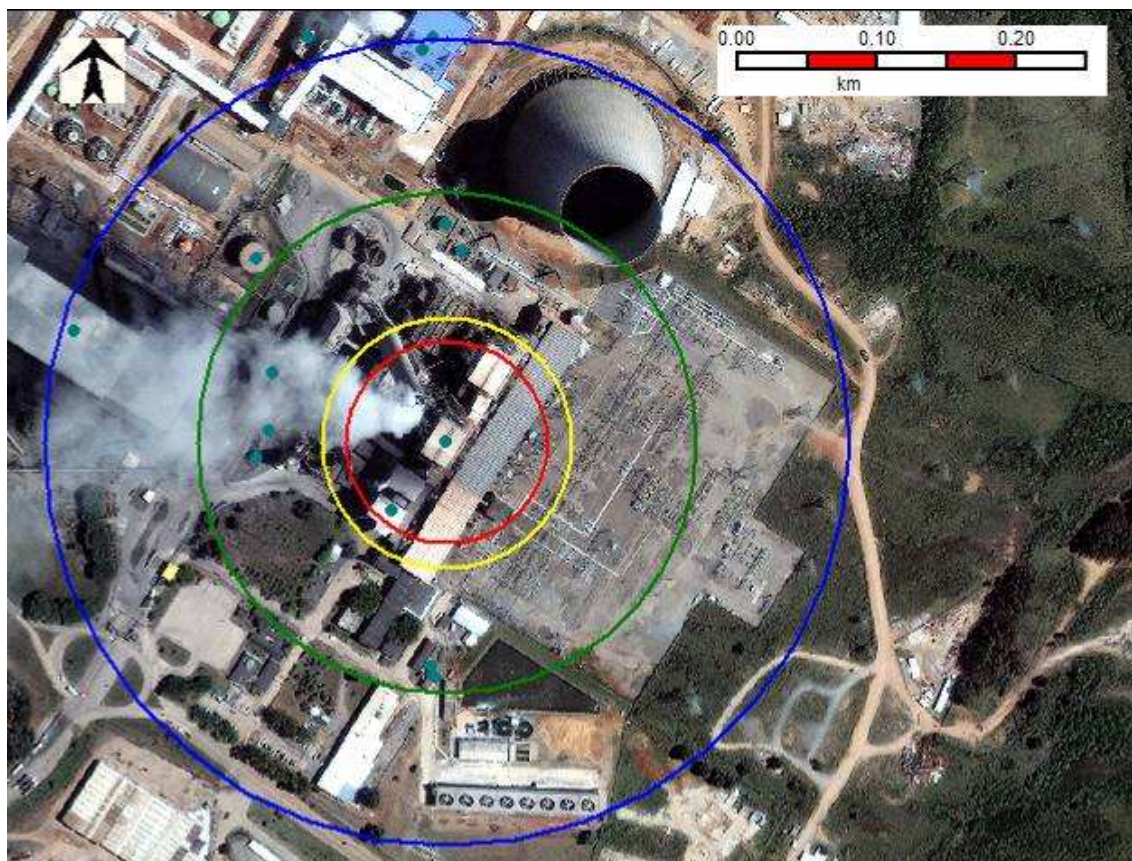


Figura 3.15 - Explosão de mistura de vapor de óleo diesel e ar, no interior da fornalha da Fase B, Hipótese 31B, alcances para sobrepressões de 0,43 bar (vermelho), 0,3 bar (amarelo), 0,1 bar (verde) e 0,05 bar (azul)



Figura 3.16- Explosão de nuvem de pó de carvão e ar, no pátio de carvão, Cenário 1ABC, alcances para sobrepressões de 0,1 bar (verde) e 0,05 bar (azul)

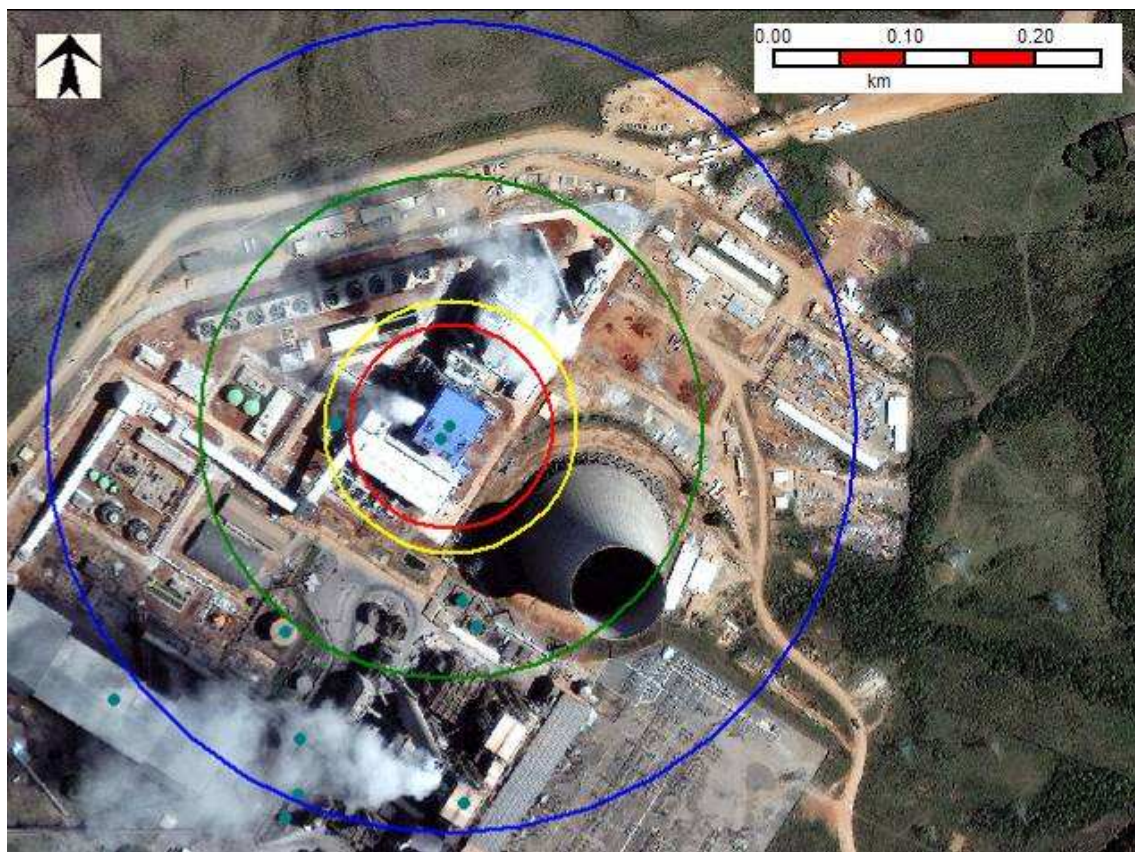


Figura 3.17- Explosão de mistura de vapor de óleo combustível e ar, no interior da fornalha da Fase C, Cenário 18C, alcances para sobrepressões de 0,43 bar (vermelho), 0,3 bar (amarelo), 0,1 bar (verde) e 0,05 bar (azul)



Figura 3.18- BLEVE da caldeira da Fase C, Cenário 22C, alcances para sobrepressões de 0,43 bar (vermelho), 0,3 bar (amarelo), 0,1 bar (verde) e 0,05 bar (azul)

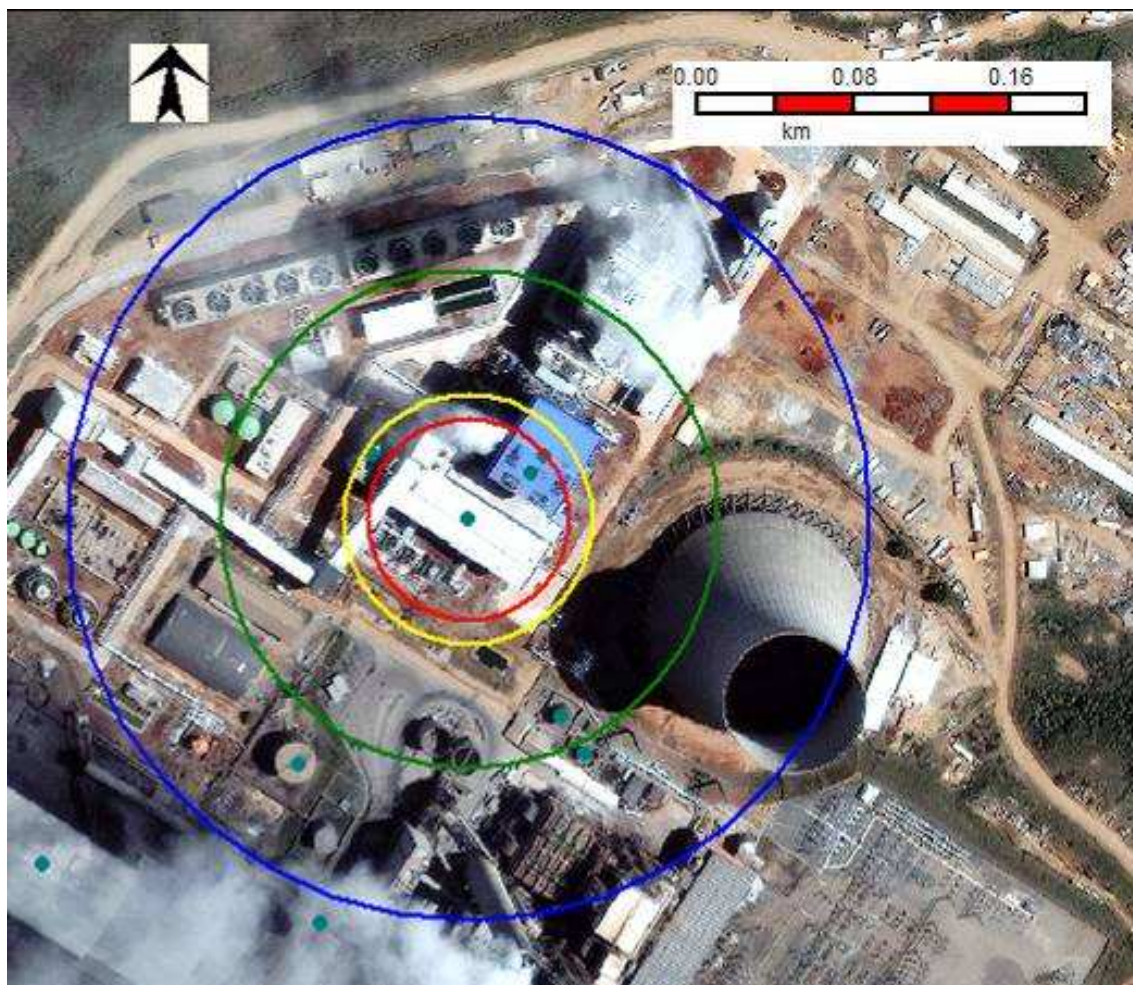


Figura 3.19- Explosão confinada de hidrogênio e ar, Cenário 64C, na sala de baterias, alcances para sobrepressões de 0,43 bar (vermelho), 0,3 bar (amarelo), 0,1 bar (verde) e 0,05 bar (azul)



Figura 3.20- Explosão confinada de hidrogênio e ar, Cenário 64C, na sala de baterias, alcances para sobrepressões de 0,43 bar (vermelho), 0,3 bar (amarelo), 0,1 bar (verde) e 0,05 bar (azul)

Outros aspectos da análise de vulnerabilidade que são requeridos na Resolução CONAMA 398, tais como a probabilidade do óleo atingir determinadas áreas e a sensibilidade destas ao óleo, não são aplicáveis ao presente caso.

4. TREINAMENTO DE PESSOAL E EXERCÍCIO DE RESPOSTA

Nesta seção, serão apresentadas as informações sobre treinamento de pessoal. Serão descritos os programas de treinamento de pessoal e de exercícios de resposta a emergências no Complexo Termelétrico de Candiota. A frequência mínima de exercício de resposta é de uma vez por ano.

O treinamento de pessoal que atenderá em caso de ocorrência de emergência é necessário para garantir o bom funcionamento do PEI e está baseado nas situações de emergência identificadas, nas responsabilidades e na experiência e no conhecimento necessário de cada um dos grupos envolvidos. Cursos específicos são ministrados a fim de garantir a capacitação dos grupos para a execução de suas funções, em situação de emergência

Após a capacitação das pessoas para exercerem suas funções no PEI, simulações de situações de emergência são feitas para verificar a integração de todo o PEI e a resposta de cada pessoa/grupo envolvido. Os exercícios de simulações são acompanhados e avaliados para correção das deficiências.

O treinamento das equipes envolvidas no controle e a simulação de acidentes são realizados para:

- testar os detalhes do PEI e a disponibilidade dos equipamentos necessários;
- informar às equipes suas tarefas, o uso dos equipamentos e os detalhes do PEI;
- testar o entrosamento de todas as equipes, bem como dar experiência e confiança a seus componentes e
- avaliar a eficiência do PEI e corrigir eventuais falhas;

O conteúdo de cursos treinamento para o período 2011/2012 da equipe de atendimento a emergência está mostrado, a seguir, na Tabela 4.1.

Tabela 4.1- Conteúdo programático do plano de treinamento de pessoal

| Envolvidos | Treinamento |
|--|---|
| Chefe da Unidade Geradora | 1: Conhecimento das situações de emergência, suas atribuições e ações dentro do PEI e dos grupos com quem irá interagir em situações de emergência 2: Simulado |
| Coordenador Local e equipe de operação, equipes de manutenção, terceiros | 1: Conhecimento das situações de emergência, suas atribuições e ações dentro do PEI e aquelas dos grupos com quem irá interagir em situações de emergência 2: Cursos e treinamento para manuseio de produtos perigosos, contendo pelo menos os seguintes itens: <ul style="list-style-type: none"> • combate a incêndio • técnicas de controle e combate de vazamentos de substâncias inflamáveis, oxidantes e tóxicas e • primeiros socorros principalmente para queimaduras 3: Simulado |
| Brigada de Emergência | 1: Conhecimento das situações de emergência e suas atribuições e ações dentro do PEI e aquelas dos grupos com quem irá interagir em situações de emergência; 2: Conhecimento das técnicas de recolhimento, de tratamento e destinação, de óleo e de outras substâncias com potencial de atingir o meio ambiente; 3: Treinamentos específicos em primeiros socorros, principalmente para queimaduras, lesões por impacto e intoxicações por produtos tóxicos; 4: Simulado |
| Segurança Patrimonial | 1: Conhecimento das situações de emergência e suas atribuições e ações dentro do PEI e aquelas dos grupos com quem irá interagir em situações de emergência 2: Cursos e treinamento de: <ul style="list-style-type: none"> • Utilização de Equipamentos de Proteção Individual (EPI) • Primeiros socorros 3: Simulado |

Na tabela 4.2, está apresentado o cronograma de treinamento e exercícios de simulação da Brigada de Emergência do Complexo Termelétrico de Candiota, para 2011 e 2012.

Tabela 4.2 – Cronograma de Treinamentos e Exercícios de Simulação do Plano de Emergência Individual – PEI para 2011 e 2012

CGTEE - DTC - CRONOGRAMA DE TREINAMENTO DA BRIGADA DE EMERGÊNCIA

| <i>Simulados 2011</i> | | | | | | | | | | | | | | <i>Cenário</i> | <i>Unid.</i> | <i>Público Alvo</i> |
|---|------------|------------|------------|------------|------------|------------|------------|------------|------------|------------|------------|------------|---|---|-----------------|--|
| <i>Tipo de atividade</i> | <i>JAN</i> | <i>FEV</i> | <i>MAR</i> | <i>ABR</i> | <i>MAI</i> | <i>JUN</i> | <i>JUL</i> | <i>AGO</i> | <i>SET</i> | <i>OUT</i> | <i>NOV</i> | <i>DEZ</i> | | | | |
| Treinamento Brigada e Pessoal de Apoio | | | | | | | | X | | | | | | Conteúdo: PEI - Estrutura | A-B-C | Brigadistas, SESMT, ADM motoristas e vigilantes. |
| Simulação interna programada | | | | | | | | X | | | | | | Tanque de fuel oil (5000 m ³) | A-B-C | Todos os empregados |
| Simulação interna surpresa | | | | | | | | | | X | | | | Tanque de fuel oil (5000 m ³) | A-B-C | Todos os empregados |
| Simulação agentes externos | | | | | | | | | | | X | | | Tanque de fuel oil (5000 m ³) | A-B-C | CGTEE-Bombeiros-CRM |
| <i>Simulados 2012</i> | | | | | | | | | | | | | | <i>Cenário</i> | <i>Unidades</i> | <i>Público Alvo</i> |
| <i>Tipo de simulado</i> | <i>JAN</i> | <i>FEV</i> | <i>MAR</i> | <i>ABR</i> | <i>MAI</i> | <i>JUN</i> | <i>JUL</i> | <i>AGO</i> | <i>SET</i> | <i>OUT</i> | <i>NOV</i> | <i>DEZ</i> | | | | |
| Simulação interna programada | | | X | | | | | X | | | | | | Tanque de óleo diesel | A-B-C | Todos os empregados |
| Simulação interna surpresa | | | | X | | | | | | X | | | | Coordenação | A-B-C | Todos os empregados |
| Simulação agentes externos | | | | | | X | | | | | | | X | Pré-aquecedor de ar rotativo | A-B-C | CGTEE-Bombeiros-CRM |
| Reciclagem de Brigada de Emergência | | | | | | | X | | | | | | | | A-B-C | Brigadistas, SESMT, ADM motoristas e vigilantes. |

4 REFERÊNCIAS BIBLIOGRÁFICAS

1. CONAMA 398/2008 – Resolução do Conselho Nacional do Meio Ambiente nº 398 de 11 de junho de 2008, Publicada no DOU nº 111, de 12 de junho de 2008, Seção 1, páginas 101-104

5 RESPONSÁVEIS TÉCNICOS PELA ELABORAÇÃO DO PEI

Os seguintes Engenheiros trabalharam na elaboração do PEI para o Complexo Termelétrico de Candiota:

- 1) Responsável e coordenador: César Antônio Leal, PhD, Engenheiro Químico da Det Norske Veritas - DNV
- 2) José Carlos Lopes Alves, Doutor, Engenheiro Químico da Det Norske Veritas - DNV
- 3) Mariana Bardy, MSc., Engenheira Química da Det Norske Veritas – DNV

6 RESPONSÁVEIS TÉCNICOS PELA EXECUÇÃO DO PEI

Os responsáveis técnicos pela execução do Plano de Emergência Individual Complexo Termelétrico de Candiota são:

- 1) Sérgio Roberto Santos – Engenheiro de Segurança
- 2) Luiz Felipe Cougo – Engenheiro de Segurança
- 3) Francisco Nelson Mackmillan Porto – Coordenador de Gestão de Meio Ambiente e de Segurança da UGP Fase C